## مجلة الادارة والاقتصاد / السنة – 42 العدد 2019/ 120 ISSN: 1813-6729 http://doi.org/10.31272/JAE.42.2019.121.22

# تقديرات المربعات الصغرى والمربعات الصغرى المشذبة للانحدار الخطي بأخطاء طبيعية ملتوية

\*\* حسين كريم ناشور "

\*\*م.د. ابتسام كريم عبد الله\*

Abstract

التوزيع الطبيعي الملتوي بمعلمة الالتواء ابسلون  $(\mathfrak{p}, \mathfrak{o}, \mathfrak{e})$  يمثل فئة معلمية من التوزيعات الاحتمالية التي توفر انموذجاً اكثر مرونة نظراً لما توفره هذه المعلمة من امكانية في التغير المستمر من الحالة الطبيعية الى الحالة الغير طبيعية. من الناحية النظرية ان عملية تقدير معلمات انموذج انحدار خطي بمتوسط خطأ ذو قيمة وليس صفرياً تعتبر تحدياً كبيراً لما تحويه هذه العملية من صعوبات حيث لايمكن الحصول على صيغة نهائية لحساب هذه التقديرات وبالاخص معلمة القياس  $\mathfrak{o}$  والالتواء  $\mathfrak{g}$ , اما من الناحية التطبيقية فانه لايمكن الحصول على قيم لهذه التقديرات الا من خلال اللجوء للطرائق العددية. تم في هذا البحث تقدير معلمات انموذج انحدار خطي عام طبيعي ملتوي (LTS) بطريقتي المربعات الصغرى المشذبة (LTS) واستعمال متوسط مربعات الخطأ (MSE) كمعيار للمقارنة بين افضلية هاتين الطريقتين وذلك من خلال استخدام دراسة المحاكاة وذلك مربعات انحطأ (LTS) عميمات المربعة كلال استخدام دراسة المحاكاة وذلك بتوليد بيانات ذات توزيع طبيعي ملتوي الى اليمين واليسار وبحجوم عينات مختلفة. حيث تبين ان طريقة LS تعطي قيم تقديرية بالنسبة لمعلمات SNGLM اكثر دقة من طريقة LTS .

المصطلحات الرئيسية: التوزيع الطبيعي الملتوي بمعلمة الالتواء ابسلون (ESN), انموذج خطي عام طبيعي ملتوي (SNGLM), تقديرات المربعات الصغرى.

# Estimates of least squares and least squares trimmed for linear regression with natural twisted errors

#### **Abstract**

The twisted normal distribution of the ESN torsion parameter (ESN,  $\mu$ ,  $\sigma$ ,  $\epsilon$ ) represents a parameter class of probability distributions that provide a more flexible model given the potential of this parameter to continuously change from normal to abnormal. In theory, the process of estimating the parameters of a linear regression model with an average error of value, not zero, is a major challenge because of the difficulties involved in this process. These estimates are evaluated only through numerical methods. In this paper, the parameters of the SNGLM in LS and LTS and MSE as a criterion for comparing the preference of these two methods were estimated by using the simulation study by generating relevant data. A normal twist to the right and left, with different sample sizes, shows that the LS method gives more accurate values for SNGLM parameters than the LTS method.

Keywords: Twisted normal distribution with Epsilon torsion parameter (ESN), SNGLM, Linear squares model.

ISSN: 1813-6729 http://doi.org/10.31272/JAE.42.2019.121.22

#### 1. المقدمة

إن مبدأ التماثل Symmetric هو المسار الذي يسلكه العديد من الباحثين لدراسة ظاهرة ما, والذي يتلخص في افتراض توزيع بيانات عينة ما, توزيعاً طبيعياً. ان افتراض الطبيعية لايتحقق في اغلب الظواهر المدروسة وذلك بسبب وجود الالتواء الذي قد يكون سبباً رئيسياً في انموذج انحدار ضعيف, وكمحاولة لمعالجة هذا الضعف تستخدم اسالسب عديدة منها اسلوب اخذ اللو غارتم للبيانات وتحويلات Box Cox وغيرها, الا ان هذه الاساليب تكون غير كافية في كثير من التطبيقات خاصة البايلوجية منها والاسلوب البديل في هذه الحالة يتمثل بتوفير توزيعات تنسجم مع البيانات للحصول على نماذج اكثر مرونة لتتكيف مع كل نسبة التواء معينة. [12]

دراسة مسألة الالتواء تجعل العلماء و الباحثين أكثر إدراكاً لأهمية التحليل الإحصائي الدقيق, ومما لاشك فيه ان اغلب الظواهر تحتوي على نسبة معينة من الالتواء وظهور مايسمى بـ"عدم التماثل" asymmetric, ومن هذه التسمية برزت اهمية العائلة الطبيعية الملتوية (SN) Skew Normal Family والتي تتضمن العائلة الطبيعية باعتبار ها حالة خاصة منها. من الناحية النظرية فأن العائلة (SN) لديها ميزة في كونها سهلة الانقياد رياضياً وامتلاكها عدد جيد من الخصائص المشتركة مع التوزيع الطبيعي, اما من الناحية التطبيقية فتعتبر العائلة (SN) هي الخيار الافضل بالنسبة لجميع الظواهر التي يظهر فيها الالتواء [10]. وبالتالي يمكننا القول بأن العائلة (SN) تهتم بتمثيل البيانات بأكبر قدر ممكن من التناسق (اعطاء بيانات الظاهرة المدروسة التوزيع المناسب) والتخلص من الافتراضات غير الواقعية, وهذا ما يوضح مقدار الحصانة التي تمتلكها هذه العائلة من خلال امتلاكها معلمة شكل اضافية تسمى "معلمة الالتواء" تعمل على تنظيم الالتواء بحيث تسمح هذه المعلمة بالتغير المستمر من الحالة الطبيعية إلى الحالة الملتوية [16].[18].[19].[19].

ان طرائق تقدير الانحدار الخطي كثيرة ومتنوعه لعل من ابرزها والتي تعتبر الحجر الاساس في علم الاحصاء طريقة المربعات الصغرى الاعتيادية O.L.S) Ordinary Least Squares), والتي تعمل وفق فروض يجب توفرها للخطأ العشوائي  $U_i$ , من أهم هذه الفروض يجب أن يكون توزيع  $U_i$  توزيعاً طبيعياً بمتوسط 0 وتباين  $\sigma^2$ . وبما ان طرائق التقدير التقليدية تكون حساسة تجاه القيم الشاذة (outliers) التي يعالجها الكثير من خلال حذفها او تقديرها استندا على مشاهدات اخرى, و بطبيعة الحال فأن هذا يقلل من مصداقية وصف الظاهرة المدروسة, أما في حالة الإبقاء على هذه القيم فعندها يجب استخدام طرائق حصينة للتقدير تمتاز بأمتلاكها القدرة الكافية على تحمل وجود القيم الشباذة بالبيانات وعدم التأثر بها وبالتالي الحصول على نتائج أكثر كفاءة, واقعية, ومنطقية.

المشكلة الاساسية لهذا البحث تكمن في حال افتراض ان الخطأ العشوائي لايتوزع توزيعاً طبيعياً, اي ان انموذج الانحدار الخطي يعاني من مشكلة الابتعاد عن التوزيع الطبيعي , Linear Regression Model Departure ، بمعنى ادق ان الخطأ يتوزع توزيع طبيعي ملتوي بمتوسط غير صفري وهذا مايسبب صعوبة في حساب تقديرات معلمات الانموذج وبالأخص معلمة الالتواء ( $\varepsilon$ ) ومعلمة القياس ( $\varepsilon$ ).

ان الغرض من هذا البحث هو تقدير معلمات انموذج انحدار خطي طبيعي ملتوي بطريقتي المربعات الصغرى (LS) والمقارنة بين افضلية هاتين الطريقتين باستخدام المحاكاة من خلال استعمال المعيار الاحصائي متوسط مربعات الخطأ (MSE).

لقد ظهرت التوزيعات الملتوية لأول مرة في عام 1897 من قبل Fechner الذي بين انه يمكن الحصول على الملتوي من خلال توصيل (ربط) اثنين من التوزيعات النصف طبيعية Half Normal Distributions التوزيع الملتوي من خلال توصيل (ربط) اثنين من التوزيعات النصف طبيعية Leonard و O'Hagan لأول مره التوزيع الطبيعي الملتوي ( $\sigma$ ). في عام 1976 قدم Skew Normal Distribution (SN) الملتوي (Azzalini على الملتوي ( $\sigma$ ) ودراسة خصائص دالة الكثافة الاحتمالية ( $\sigma$ ) له والتي كانت كالتالى:

$$f(x) = 2\phi(x)\Phi(\alpha x), \qquad -\infty < x < \infty$$
 (1.1)

حيث ان  $\phi(x)$  تمثل pdf للتوزيع الطبيعي القياسي و  $\phi(x)$  تمثل الدالة التوزيعية التراكمية (cdf) للتوزيع الطبيعي القياسي, اما بالنسبة لـ  $\alpha$  فهي تمثل معلمة الالتواء والتي تكون قيمتها بين  $\infty$  و  $\infty$ . وفي عام 2000 قدم Epsilon Skew-Normal و Mudholkar

Elsalloukh قوم علمي الله الملتوية القوة الاسية Elsalloukh واخرين  $^{[7]}$  بتقديم عائلة توزيع جديدة اطلقوا عليها اسم عائلة ايبسلون الملتوية القوة الاسية ESP Epsilon-Skew Exponential Power والتي تتضمن التوزيع ESN كحالة خاصة منها, حيث بينوا ان هذه العائلة مفيدة في نمذجة البيانات الملتوية. في عام 2010 قام ESN ESN والحرين  $^{[4]}$  بتوسيع معلمي المتوريع ESN الحقدم من قبل Mudholkar و Mudholkar الطلقوا عليه العائلة الطبيعية المرنة ESN والتوزيع ESN (ESN) Flexible Epsilon-Skew-Normal Family حيث ان هذه العائلة تحتوي على معلمة المتوية المرنة التوزيع ESN (ESN), FESN (ESN) وان وان  $(\delta)$  تزيد من مرونة التوزيع ESN, هذا وان  $(\delta)$  تزيد علما الملتوي بمعلمة الالتواء ابسلون Epsilon و Abdulah و ESSIlon الملتوي بمعلمة الالتواء ابسلون Epsilon (EST) Skew Gamma وفي عام 2013 الماتوي بمعلمة الالتواء ابسلون ESSIlon في عام EST في بيانات ذات توزيع قريب من توزيع كاما حيث قاموا بتعريف التوزيع EST في بيانات خصائصه ومميزاته, وتقدير معلماته باستعمال طريقتي الامكان الاعظم والعزوم, وتطبيق هذه التقديرات على بيانات توزيع توزيع توزيع Sonetic التوزيع SN ومقارنتها مع تقنيات تكرارية اخرى Genetic التوزيع EST في الخوارزمية المعادة الوزن التكرارية اخرى مثل CST (CA) الإعظم والخوارزمية المعادة الوزن التكرارية اخرى مثل (CA) (CA) العوارزمية المعادة الوزن التكرارية اخرى مع باقي الخوارزميات من خلال حساب متوسط مربعات الخطأ (CA) هي الخوارزمية الاكثر كفاءة مقارنتا مع باقي الخوارزميات من خلال حساب متوسط مربعات الخطأ Mean Squares Errors (MSE) لكل مقدر في حال تطبيقه في كل خوارز مية .

#### **Skew Normal Distribution**

#### 2. التوزيع الطبيعي الملتوى

تحتل عائلات الموقع والقياس مكاناً مهيمناً في النمذجة و التحليل الإحصائي, وهذا يعكس اهمية التوزيعات الملتوية في هذا المجال, فلقد كان الدافع وراء تقديم التوزيعات الملتوية هو الحصول على توزيعات تكون قادرة على التكيف بأكبر قدر ممكن مع البيانات<sup>[1]</sup>, وبصورة عامة فأن التوزيع الطبيعي الملتوي (SN) لديه الكثير من الإمكانيات لكن غياب أسلوب كفوء لتقدير المعلمات هو بمثابة عائق رئيسي لاستخدامه على نطاق أوسع [6]، ويشير مصطلح طبيعي ملتوي (skew-normal) إلى فئة معلميه من التوزيعات الاحتمالية والتي تكون بمثابة توسعة للتوزيع الطبيعي من خلال معلمة شكل إضافية تنظم الالتواء, بحيث تسمح بالتغير المستمر من الحالة الطبيعية إلى الحالة الغير طبيعية [6] ففي المجال التطبيقي فأن التوزيع SN يعتبر الحل الامثل بالنسبة لجميع الحالات التي يوجد فيها بعض الالتواء وان الخاصية القيمة والتي تظهر بشكل واضح في هذه الحالة هي استمرارية التحول من الحالة الطبيعية إلى الملتوية، اما من الناحية النظرية فأن فئة التوزيعات الطبيعية الملتوية (SN) لديها ميزة في كونها سهلة الانقياد رياضياً وامتلاكها عدد جيد من الخصائص المشتركة مع التوزيع الطبيعي القياسي.

بين ( Mudholkar و Huston )  $^{[11]}$  التوزيع (SN) بصيغة مختلفة عما جاء به Mudholkar و أطلقوا عليها اسم التوزيع الطبيعي الملتوي بمعلمة الالتواء ايبسلون ESN) Epsilon Skew Normal ( $^{(11)}$  والذي تكون دالة الكثافة الاحتمالية له بالشكل التالي:

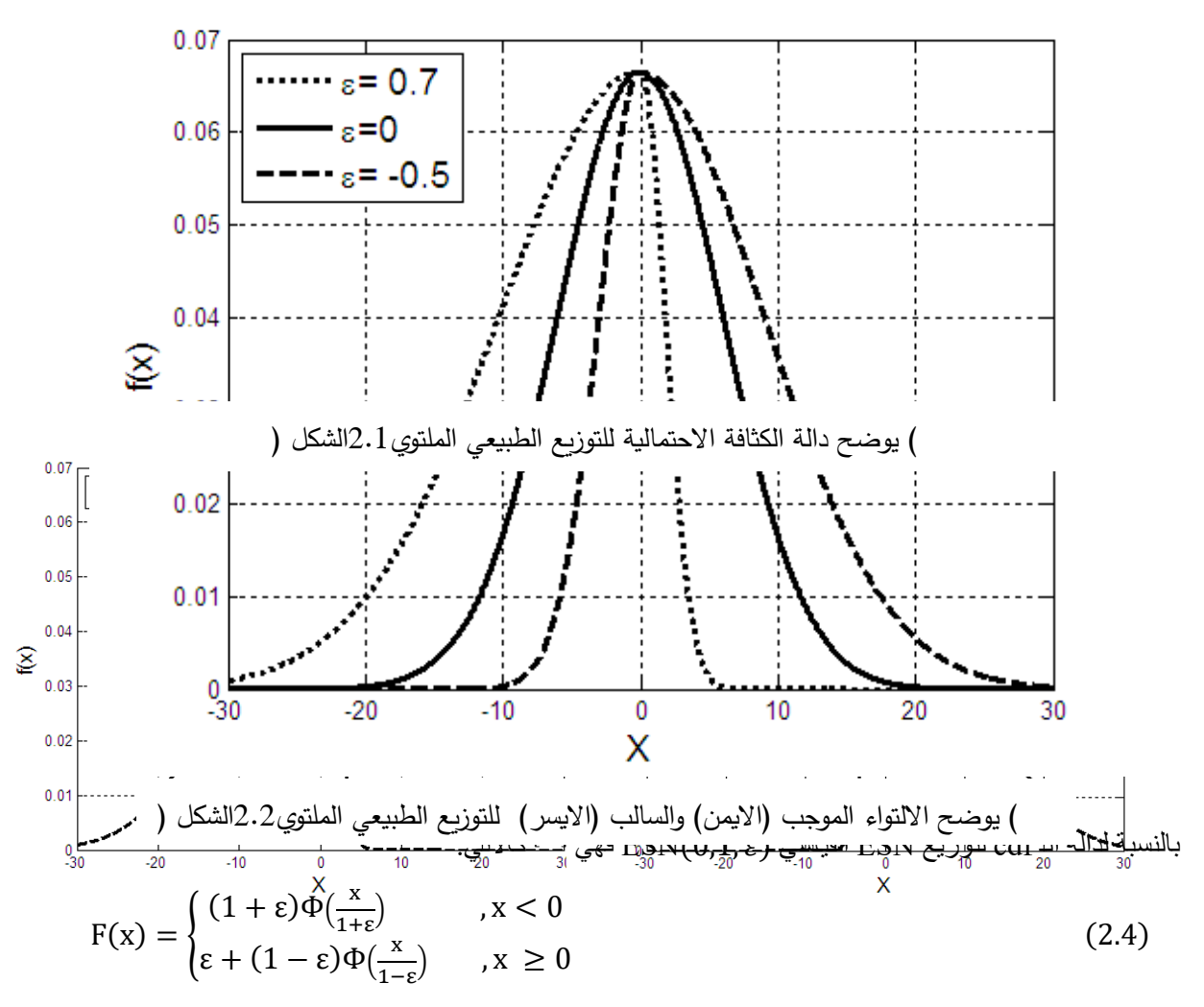
$$f(x) = \begin{cases} \frac{1}{\sigma\sqrt{2\pi}} e^{-\frac{(x-\mu)^2}{2\sigma^2(1+\epsilon)^2}} & \text{if } x < \mu \\ \frac{1}{\sigma\sqrt{2\pi}} e^{-\frac{(x-\mu)^2}{2\sigma^2(1-\epsilon)^2}} & \text{if } x \ge \mu \end{cases} , \quad -1 < \epsilon > 1$$
 (2.1)

حيث ان كل من  $\sigma$  ,  $\rho$  , و  $\sigma$  تمثل معلمة الموقع Location , القياس Scale , الالتواء Skewness على التوالي. وسنستخدم المعادلة (2.1) في هذا البحث والتي تمتلك متوسط وتباين يكونان كالتالي:

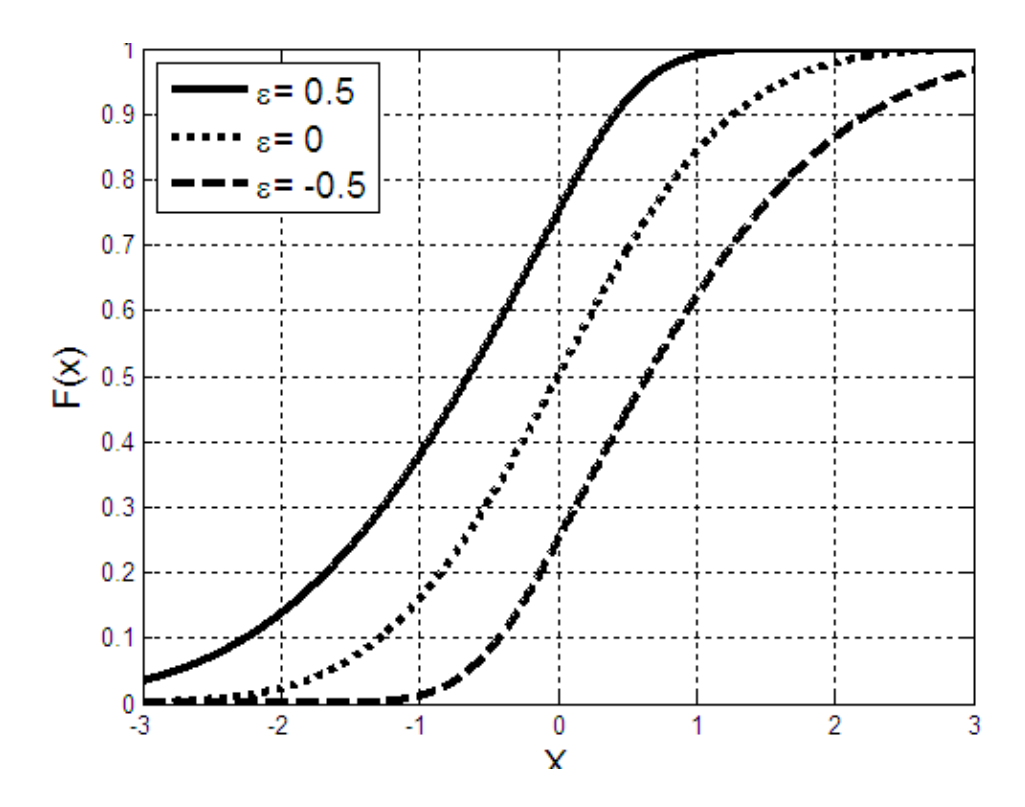
$$E(x) = \mu - \frac{4\sigma\epsilon}{\sqrt{2\pi}} \tag{2.2}$$

$$V(x) = \frac{\sigma^2[(3\pi - 8)\epsilon^2 + \pi]}{\pi}$$
 (2.3)

الشكل (2.1) يوضح دالة الكثافة الاحتمالية للتوزيع (ESN) ذلك باختيار اكثر من قيمة لـ  $\varepsilon$  , حيث ان المنحني ذو الخط المنقط يوضح انه "إذا كانت ( $\varepsilon$  > 0) فهذا يعني لدينا التواء في الجانب الأيمن" [ $\varepsilon$  | (Right Skewed) وفي هذه الحالة يكون الالتواء موجب اي إن البيانات تتركز معظمها في جهة اليمين ويكون المتوسط اكبر من الوسيط اكبر من المنوال (المتوسط يقع يمين المنوال). أما المنحني ذو الخط المتقطع فأنه يوضح "إذا كانت ( $\varepsilon$  > 3) فهذا يعني لدينا التواء في الجانب الأيسر" [ $\varepsilon$  | (Left Skewed)، وفي هذه الحالة يعتبر الالتواء سالب اي إن البيانات تتركز معظمها في جهة اليسار ويكون المنوال اكبر من الوسيط اكبر من المتوسط (المتوسط يقع إلى يسار المنوال), ويكون التوزيع متماثل في حال كانت ( $\varepsilon$  = 3). الشكل (2.2) يوضح وبصورة ادق توزيع ESN ملتوي لليمين ولليسار بالنسبة لمعلمتي التواء موجبة وسالبة.



والشكل (2.3) يوضح تأثير  $\varepsilon$  على شكل دالة الـ cdf للتوزيع ESN باختيار اكثر من قيمة لـ  $\varepsilon$ . حيث ان المنحني ذو الخط المنقط يوضح شكل دالة الـ cdf للتوزيع الطبيعي ( $\varepsilon$  = 9), المنحني ذو الخط المتصل يوضح دالة الـ cdf للتوزيع ESN ملتوي لليمين و هذا واضح من خلال تأثير قيمة  $\varepsilon$  المساوية لـ 0.5 في كون المنحني من الجانب الايمن اصبح ذو ذيل اطول من الجانب الاخر, والمنحني ذو الخط المتقطع يوضح دالة الـ cdf لتوزيع ESN ملتوي لليسار وهذا واضح من خلال تأثير قيمة  $\varepsilon$  المساوية لـ 0.5- في كون المنحني من الجانب الايسر اصبح ذو ذيل اطول من الجانب الاخر.



#### **Skew-Normal General Linear Model (SNGLM)**

#### 3. الانموذج الخطى العام الطبيعي-الملتوى

يمكن تمثيل العلاقة بين المتغير المعتمد (Y<sub>i</sub>) وعدد من المتغيرات المستقلة (X<sub>i</sub>) وحد الخطأ العشوائي (U<sub>i</sub>) بالمعادلة الخطية الاتية:

$$Y_i = \beta_0 + \beta_1 X_{i1} + \beta_2 X_{i2} + \dots + \beta_K X_{iK} + U_i$$
 
$$\begin{cases} i = 1, 2, \dots, n \\ j = 0, 1, 2, \dots, K \end{cases}$$
 (3.1)   
 aki e notion in the proof of the proo

$$\mathbf{Y} = \mathbf{X}\boldsymbol{\beta} + \mathbf{U} \tag{3.2}$$

حيث ان  $\mathbf{Y}$  يمثل متجه لمشاهدات المتغير المعتمد ذو بعد  $(n^*(K+1))$ ,  $\mathbf{X}$  مصفوفة ذات ابعاد  $(n^*(K+1))$  لمشاهدات المتغير ات المستقلة,  $oldsymbol{\beta}$  متجه ((K+1)\*1) لمعلمات الانحدار علماً بأن العنصر الاول منه يمثل الحد الثابت, و  $oldsymbol{U}$  هو .U ~ ESN( $\mu$ ,  $\sigma$ ,  $\epsilon$ ) للخطأ العشوائي والذي يتوزع توزيع طبيعي ملتوي (n\*1) للخطأ العشوائي والذي يتوزع توزيع

عندما يكون توزيع الخطأ توزيعاً طبيعياً ملتوياً (ESN) فأن متوسطه يكون كما هو مذكور في المعادلة (2.2). وبما ان توقع الخطأ عبارة عن حد ثابت لذا لابد من ضربه بمتجه الوحدة  $I_{n*1}$  عند التقدير, وذلك لاننا سنتعامل مع متجه من الاخطاء العشوائية, لذلك فأن الصيغة التقديرية للانموذج (3.2) ستكون بالشكل التالي:

$$\widehat{\mathbf{Y}} = \mathbf{E}\mathbf{Y} = \mathbf{X}\mathbf{\beta} + \mathbf{E}(\mathbf{U})$$

$$\mathbf{E}\mathbf{Y} = \mathbf{X}\boldsymbol{\beta} + \left(\mu - \frac{4\sigma\varepsilon}{\sqrt{2\pi}}\right)\mathbf{I} \tag{3.3}$$

## **Lest Square Estimates**

#### 4. تقديرات المربعات الصغرى

بما ان حد الخطأ بالنسبة للمتغير المعتمد (Y) هو عبارة عن مقدار الفرق بين القيمة الحقيقية و القيمة التقديرية, لذا فأن حد الخطأ بالنسبة للانموذج الخطى العام الطبيعي الملتوي (SNGLM) يكون كالاتي:

$$\mathbf{U} = \mathbf{Y} - \mathbf{E}\mathbf{Y} \tag{4.1}$$

وبتعويض المعادلة (3.3) بالمعادلة (4.1) نحصل على

$$\mathbf{U} = \mathbf{Y} - \mathbf{X}\boldsymbol{\beta} - \left(\mu - \frac{4\sigma\varepsilon}{\sqrt{2\pi}}\right)\mathbf{I} \tag{4.2}$$

لذلك فأن مجموع مربعات الاخطاء سيكون بالشكل الاتي:

$$\sum_{i=1}^{n} (U_i)^2 = \mathbf{U}'\mathbf{U} \tag{4.3}$$

فبعد تعويض المعادلة (4.2) بما يساويها في المعادلة (4.3) وبالتبسيط حيث ان

 $(X\beta)'Y = Y'(X\beta)$  و  $(X\beta)'Y = Y'(X\beta)$  سنحصل على الصيغة النهائية لمجموع مربعات الاخطاء و هي كالاتي:

$$\begin{split} \mathbf{U}'\mathbf{U} &= \mathbf{Y}'\mathbf{Y} - \mathbf{Y}'(\mathbf{X}\boldsymbol{\beta}) - \left(\mu - \frac{4\sigma\epsilon}{\sqrt{2\pi}}\right)\mathbf{Y}'\mathbf{I} - (\mathbf{X}\boldsymbol{\beta})'\mathbf{Y} + (\mathbf{X}\boldsymbol{\beta})'(\mathbf{X}\boldsymbol{\beta}) + \left(\mu - \frac{4\sigma\epsilon}{\sqrt{2\pi}}\right)(\mathbf{X}\boldsymbol{\beta})'\mathbf{I} \\ &- \left(\mu - \frac{4\sigma\epsilon}{\sqrt{2\pi}}\right)\mathbf{I}'\mathbf{Y} + \left(\mu - \frac{4\sigma\epsilon}{\sqrt{2\pi}}\right)\mathbf{I}'(\mathbf{X}\boldsymbol{\beta}) + \left(\mu - \frac{4(\mathbf{X}\boldsymbol{\beta})\epsilon}{\sqrt{2\pi}}\right)^2\mathbf{I}'\mathbf{I} \end{split}$$

$$\begin{split} \textbf{U}'\textbf{U} &= \textbf{Y}'\textbf{Y} - 2\textbf{Y}'(\textbf{X}\boldsymbol{\beta}) - 2\left(\mu - \frac{4\sigma\epsilon}{\sqrt{2\pi}}\right)\textbf{Y}'\textbf{I} + (\textbf{X}\boldsymbol{\beta})'(\textbf{X}\boldsymbol{\beta}) + 2\left(\mu - \frac{4\sigma\epsilon}{\sqrt{2\pi}}\right)(\textbf{X}\boldsymbol{\beta})'\textbf{I} \\ &+ n\left(\mu - \frac{4\sigma\epsilon}{\sqrt{2\pi}}\right)^2 \end{split} \tag{4.4}$$

بأخذ التفاضل للمعادلة (4.4) بالنسبة لمتجه معلمات الانحدار  $(\beta)$ , وبالمساواة للصفر نحصل على الصيغة التقديرية  $-\beta$ .

$$\frac{\partial \mathbf{U}'\mathbf{U}}{\partial \mathbf{\beta}} = -2\mathbf{Y}'\mathbf{X} + 2\mathbf{X}'\mathbf{X}\mathbf{\beta} + 2\left(\mu - \frac{4\sigma\epsilon}{\sqrt{2\pi}}\right)\mathbf{X}'\mathbf{I}$$

$$-\mathbf{X}'\mathbf{Y} + \mathbf{X}'\mathbf{X}\mathbf{b} + \left(\mu - \frac{4\sigma\epsilon}{\sqrt{2\pi}}\right)\mathbf{X}'\mathbf{I} = 0$$

$$\mathbf{b} = (\mathbf{X}'\mathbf{X})^{-1} \left( \mathbf{X}'\mathbf{Y} - \left( \mu - \frac{4\sigma\varepsilon}{\sqrt{2\pi}} \right) \mathbf{X}'\mathbf{I} \right)$$
 (4.5)

وبأخذ التفاضل للمعادلة (4.4) بالنسبة لـ  $\sigma$  ,  $\mu$  ,  $\sigma$  ,  $\mu$  على التوالي ومساواتها للصفر سنحصل على صيغ تقديرية لكل من  $\varepsilon$  ,  $\sigma$  ,  $\mu$  كما موضح ادناه :

$$\frac{\partial \mathbf{U}'\mathbf{U}}{\partial \mathbf{u}} = -\mathbf{Y}'\mathbf{I} + (\mathbf{X}\mathbf{b})'\mathbf{I} + n\left(\hat{\mathbf{u}} - \frac{4\sigma\epsilon}{\sqrt{2\pi}}\right) = 0$$

$$\hat{\mu} = \frac{\mathbf{Y'I} - (\mathbf{Xb})'\mathbf{I} + \left(\frac{4\sigma\epsilon}{\sqrt{2\pi}}\right)\mathbf{n}}{\mathbf{n}}$$
(4.6)

$$\frac{\partial \textbf{U}'\textbf{U}}{\partial \sigma} = \left(\frac{8\epsilon}{\sqrt{2\pi}}\right)\textbf{Y}'\textbf{I} - \left(\frac{8\epsilon}{\sqrt{2\pi}}\right)(\textbf{X}\textbf{b})'\textbf{I} - \left(\mu - \frac{4\widehat{\sigma}\epsilon}{\sqrt{2\pi}}\right)\left(\frac{8\epsilon}{\sqrt{2\pi}}\right)n = 0$$

$$\widehat{\sigma} = \frac{((\mathbf{X}\mathbf{b})'\mathbf{I} - \mathbf{Y}'\mathbf{I} + \mathbf{n}\mu)\sqrt{2\pi}}{4n\varepsilon}$$
(4.7)

$$\frac{\partial \textbf{U}'\textbf{U}}{\partial \epsilon} = \left(\frac{8\widehat{\sigma}}{\sqrt{2\pi}}\right) \textbf{Y}'\textbf{I} - \left(\frac{8\widehat{\sigma}}{\sqrt{2\pi}}\right) (\textbf{X}\textbf{b})'\textbf{I} - \left(\mu - \frac{4\widehat{\sigma}\widehat{\epsilon}}{\sqrt{2\pi}}\right) \left(\frac{8\widehat{\sigma}}{\sqrt{2\pi}}\right) n = 0$$

$$\hat{\varepsilon} = \frac{((\mathbf{X}\mathbf{b})'\mathbf{I} - \mathbf{Y}'\mathbf{I} + \mathbf{n}\mu)\sqrt{2\pi}}{4\mathbf{n}\hat{\sigma}}$$
(4.8)

بأعادة النظر الى ماذكر من صيغ تقديرية بالنسبة لمعلمات SNGLM ونخص بالذكر الصيغ التقديرية للمعلمات  $\mu$ ,  $\sigma$  سنجد ان كل واحدة من هذه التقديرات عبارة عن صيغة مغلقة (Closed form) بمعنى انه لايمكن الحصول على صيغة نهائية لها وحلها الا عن طريق استخدام طرائق عددية Numerical Methods للتقدير للتقدير [17] وهذا ماسيتم العمل عليه لاحقاً.

#### **Least Trimmed Squares**

### 5. طريقة المربعات الصغرى المشذبة

تعتبر طريقة المربعات الصغرى المشذبة (LTS) التي تم تقديمها من قبل Rousseeuw عام 1984 [15] احد طرائق الانحدار الحصين المهمة والجديرة بالثقة بالنسبة لتحليل البيانات وذلك لاسلوبها الذي يعتمد على تجاهل القيم الشاذة. تعمل هذه الطريقة على تصغير مجموع مربعات الاخطاء بعد ترتيبها تصاعدياً ويتم حساب مقدر L.T.S من خلال الاتى:

$$D(r) = \sum_{i=1}^{h} (r^2)_{i:n}$$
 (5.1)

حيث ان $r_i^2$  تمثل البواقي المربعة والمرتبة تصاعدياً  $r_i^2)_{n:n} \leq \cdots \leq (r^2)_{n:n}$  يمثل عدد المشاهدات التي يتم اعتمادها بعد حذف القيم الشاذة, ويعرف بثابت القطع الذي يحدد درجة الحصانة المطلوبة, والذي تكون "قيمته مساوية لـ [p+1]/2 + [p+1]/2 حيث ان [n/2] عيث عدد المعلمات [5]".

طريقة LTS وكما موضح في المعادلة (5.1) تستبعد البواقي المربعة والكبيرة من المجموع, وهذا مايسمح بأستبعاد النقاط الشاذة للبيانات بشكل كامل, فبالاعتماد على قيمة h, وترتيب البيانات الشاذة للبيانات بشكل كامل, فبالاعتماد على قيمة h, وترتيب البيانات الشاذة يمكن ان تكون هذه الطريقة كفوءة للغاية [5]. من ناحية الية عمل LTS فهي تعمل بنفس الية عمل LS لكن الاختلاف الوحيد يتمثل بأن طريقة CSN قبل الشروع بعملية التقدير تعمل على حذف الشواذ من العينة. اما من ناحية تكيف هذه الطريقة بالنسبة لتوزيع خطأ ESN فهذا يتم من خلال ابدال البواقي الاعتيادية ببواقي الانحراف, ومن ثم تقدير معلمات انموذج الانحدار حسب طريقة للمذكورة مسبقاً) وبالاعتماد على نفس المقدرات.

#### 6. المحاكاة

لتوليد انموذج SNGLM بمتغيرين مستقلين كما موضح في (6.1), واجراء مقارنة بين طريقتين كان لابد (6.1), واجراء مقارنة بين طريقتين كان لابد (7.1) عمل در اسة المحاكاة والتي تضمنت هنا توليد أربع حجوم لعينات (7.1) تتوزع التوزيع (7.1) و (7.1) و (7.1), حيث تم التوليد بالاعتماد على دالة معكوس الـ CDF (7.1) (7.10) للتوزيع (7.10) (7.10) و (7.10) و (7.10) و (7.10)

## ISSN: 1813-6729 http://doi.org/10.31272/JAE.42.2019.121.22

values لكل من معلمات الانموذج المطلوب تقدير ها  $\sigma$ ,  $\mu$ ,  $\beta_2$ ,  $\beta_1$ ,  $\beta_0$  وهي 1-, 3, 5, 7, 1 على التوالي بحيث تكون هذه القيم ثابتة لجميع حجوم العينات.

$$Y_{i} = \beta_{0} + \beta_{1}X_{1} + \beta_{2}X_{2} + U \tag{6.1}$$

$$F^{-1}(u) = \begin{cases} \mu + \sigma \left( (1+\epsilon)\Phi^{-1}\left(\frac{u}{1+\epsilon}\right) \right) & , 0 < u < \frac{(1+\epsilon)}{2} \\ \mu + \sigma \left( (1-\epsilon)\Phi^{-1}\left(\frac{u-\epsilon}{1-\epsilon}\right) \right) & , \frac{(1+\epsilon)}{2} \le u < 1 \end{cases}$$

$$(6.2)$$

بالنسبة لمعلمة الالتواء ع فلقد تم افتراض قيمتين لها وهي 0.5- و 0.7 حيث ان مقدرات SNGLM الناتجة من القيمة الاولى كما موضح في الجدول (1) تمثل مقدرات ناتجة من توزيع طبيعي ملتوي لليسار Left Epsilon القيمة الاولى كما موضح في الجدول (2) تمثل SNGLM الناتجة من القيمة الثانية كما موضح في الجدول (2) تمثل مقدرات ناتجة من توزيع طبيعي ملتوي لليمين RESN) Right Epsilon Skew Normal). كان لابد من اللجوء لطريقة عددية Numerical Method المتمثلة بخوارزمية Trust Region لايجاد قيم لمقدرات للعربة

من خلال ملاحظة الجداول (1) و (2) لوحظ ان طريقة LS افضل من طريقة LTS في حساب المقدرات و هذا و اضح من خلال امتلاك طريقة LS قيمة MSE اقل من LTS ولجميع حجوم العينات. كما لوحظ ان القيم التقديرية بالنسبة لمعلمة القياس ( $\hat{\sigma}$ ) والالتواء ( $\hat{\tau}$ ) بكلتا الطريقتين تقترب بنسبة كبيرة من القيم الحقيقية, و هذا و اضح من خلال امتلاكها MSE يقترب بنسبة كبيرة من الصفر ولجميع حجوم العينات. بزيادة حجم العينة فأن القيم التقديرية لكل من معلمات الانحدار  $\hat{\tau}$  و بكلتا الطريقتين تقترب من القيم الحقيقية, فعلى سبيل المثال ومن خلال ملاحظة قيم MSE للقيمة التقديرية لـ  $\hat{\tau}$  و  $\hat{\tau}$  و بلحدول (2) وجد انها تقل بنسبة %93 بطريقة كل عند زيادة حجم العينة من 20 الى 200.

عند زيادة حجم العينة بنسبة كبيرة (N=200) وللطريقتين فأن القيمة التقديرية بالنسبة لمعلمة الموقع ( $\hat{\mu}$ ) ومعلمة الحد الثابت ( $b_0$ ) تقترب من القيمة الحقيقية وكما موضح في الجدول (2), فعلى سبيل المثال عند زيادة حجم العينة من 20 الى MSE لكل من  $\hat{\mu}$  و  $b_0$  بطريقة LS يقل بنسبة %97.8 و %91 على التوالي.

N	Method Parameter	LS	MSE_LS Parameter	LTS	MSE_LTS Parameter
20	b <sub>0</sub>	-1.1794	0.0322	-1.7262	0.5274
	b <sub>1</sub>	3.0569	0.0032	3.0234	0.0005
	b <sub>2</sub>	4.9961	15.0624E-6	5.0135	0.0002
	μ̂	6.4446	0.3085	7.2099	0.0440
	σ	0.9998	39.1188E-9	0.9998	42.3806E-9
	Ê	-0.4996	14.9713E-8	-0.4996	14.9215E-9
	MSE	29.:	3745E-17	0.1267	
	$b_0$	-2.0612	1.1261	-0.7445	0.0653
	$b_1$	3.0074	0.0001	3.0142	0.0002
	$b_2$	5.0143	0.0002	5.0149	0.0002
50	μ̂	7.5294	0.2803	6.3099	0.4762
	σ	0.9996	18.6966E-9	1.0001	21.2000E-9
	Ê	-0.4999	21.2496E-9	-0.5004	19.1164E-8
	MSE	28.2716E-17		7.9269	
	$b_0$	-0.0396	0.9224	0.9506	3.8049
	$b_1$	3.0003	73.1811E-9	2.9942	33.3896E-6
	b <sub>2</sub>	4.9964	13.0618E-6	4.9981	3.6554E-6
100	μ̂	6.2856	0.5104	5.6795	1.7437
	σ	1.0000	16.791E-10	1.0002	38.4361E-9
	Ê	-0.5000	30.9288E-11	-0.5001	17.4485E-9
	MSE	81.3015E-17		4.0644	
200	$b_0$	-0.2877	0.5074	-1.7070	0.4998
	b <sub>1</sub>	2.9988	13.788E-7	2.9984	24.289E-7
	b <sub>2</sub>	5.0013	17.113E-7	5.0035	12.1232E-6
	μ̂	6.2930	0.4998	7.5123	0.2625

## ISSN: 1813-6729 http://doi.org/10.31272/JAE.42.2019.121.22

	σ	1.0001	79.280E-10	1.0024	57.183E-7
	Ê	-0.5000	18.329E-10	-0.5012	14.715E-7
	MSE	13.295E-19	0.0189		

arepsilon = -0.5 عندما SNGLM و SSE عندما (1) تقدير ات معلمات أنموذج

N	Method	LS	MSE_LS	LTS	MSE_LTS
	Parameter		Parameter		Parameter
20	$b_0$	0333-1.	0.0011	-0.9708	0.0009
	$b_1$	3.0742	0.0055	3.0326	0.0011
	$b_2$	5.0086	0.0001	5.0310	0.0010
	μ̂	6.0968	0.8159	6.3027	0.4862
	σ	0.9997	80.4616E-9	0.9997	72.0856E-9
	Ê	0.6996	16.5109E-8	0.6996	14.8233E-8
	MSE	21.3257E-18		0.1763	
	b <sub>o</sub>	-1.7540	1.5686	-1.7209	0.5198
	b <sub>1</sub>	3.0075	0.0001	3.0135	0.0002
	b <sub>2</sub>	5.0124	0.0002	5.0108	0.0001
50	μ̂	7.3654	0.1335	7.4755	0.2261
	σ	1.0011	11.074E-7	0.9997	89.6127E-9
	Ê	0.7007	46.3102E-8	0.6996	15.1962E-8
	MSE	23.6049E-26		6.2454	
	b <sub>o</sub>	-1.6891	0.4749	-1.6907	0.4771
	b <sub>1</sub>	3.0010	10.326E-7	2.9965	12.5844E-6
	b <sub>2</sub>	4.9975	60.576E-7	4.9998	59.7998E-9
100	μ̂	7.8681	0.7536	8.2135	1.4725
	σ	0.9970	89.764E-7	1.0094	0.0001
	ŝ	0.6979	45.003E-7	0.7065	42.2718E-6
	MSE	66.5081E-26		6.2126	
	b <sub>o</sub>	-0.9927	0.0001	-0.5704	0.1846
	b <sub>1</sub>	2.9985	23.972E-7	2.9979	43.891E-7
	b <sub>2</sub>	5.0027	71.340E-7	5.0055	29.7207E-6
200	μ̂	6.8661	0.0179	6.1979	0.6434
	σ	1.0000	96.7652E-14	1.0001	99.337E-10
	Ê	0.7000	10.6254E-15	0.6999	38.980E-10
	MSE	53.811E-25		0.0343	

 $\varepsilon = 0.7$  عندما MSE و SNGLM عندما در 2) عندما

#### **Conclusions and Recommendations**

#### 7. الاستنتاجات والتوصيات

في هذا البحث تم حساب مقدرات معلمات انموذج SNGLM باستخدام طريقتي LS و LTS, وبالاعتماد على مبدأ تصغير مجموع مربعات الخطأ اقل مايمكن بالنسبة لكل معلمة. كما تمت المقارنة بين الطريقتين باستخدام دراسة المحاكاة لتوليد بيانات ملتوية لليمين واليسار وبحجوم عينات مختلفة. من خلال برنامج الماتلاب وباستخدام خوار زمية تكرارية تمثلت بخوار زمية Trust-region-dogleg تم حساب المقدرات.

من اهم الاستنتاجات التي تم التوصل اليها هو ان طريقة LS تعطي تقدير ات اكثر دقة من طريقة LTS وذلك لامتلاكها MSE الله التي التي تم التوصل اليها هو ان طريقة LS القديرية من الحقيقية لكل من معلمة القياس ( $\sigma$ ) والالتواء ( $\sigma$ ) لكلا الطريقيتين ولجميع حجوم العينات ايضاً. كما تمت الملاحظة على انه بزيادة حجم العينة فأن MSE يقل بالنسبة لمقدر ات معلمات الانحدار  $\sigma$  و  $\sigma$  لكلا الطريقتين. بزيادة حجم العينة بنسبة كبيرة تزداد دقة مقدر ات كل ما معلمة الموقع ( $\sigma$ ) ومعلمة الحد الثابت ( $\sigma$ ) وكذلك يقل MSE لها.

LTS على طريقة حصينة مثل طريقة  $ESN(\mu, \sigma, \epsilon)$  المكيفة مع توزيع خطأ على طريقة  $ESN(\mu, \sigma, \epsilon)$  على طريقة معنان التأثير الواضح بالنسبة لمعلمة الالتواء على سلوك هذه الطريقة وجعلها اكثر حصانة لذلك نوصي

## ISSN: 1813-6729 http://doi.org/10.31272/JAE.42.2019.121.22

باستخدامها. كما نوصي باستخدام التوزيع ESN وذلك نظراً لما يوفره هذا التوزيع من مرونة في حال توفر بيانات ملتوية Skewed data. و اظافة طرائق تقدير اخرى للمقارنة كطريقة الامكان الاعظم.

#### 8. المصادر

- [1] Azzalini, A., & Capitanio, A. (2003) "Distributions Generated by Perturbation of Symmetry with Emphasis on a Multivariate Skew t-Distribution" Journal of the Royal Statistical Society, Series B (Statistical Methodology), vol. 65, no. 2, pp. 367–389.
- [2] Azzalini, A. (1985) " A Class of Distributions Which Includes the Normal Ones" Scandinavian Journal of Statistics, vol.12, no.2, pp.171-178.
- [3] Abdulah, Ebtisam & Elsalloukh, Hassan (2013) "Analyzing Skewed Data with the Epsilon skew Gamma Distribution" Journal of Statistics Applications & Probability, vol.2, no.3, pp.195-202.
- [4] Abdulah, Ebtisam & Elsalloukh, Hassan (2012) "The Epsilon Skew Gamma Distribution" JSM Proceeding, Biometrics Section. San Diago California: American Statistical Association.
- [5] Alma, Ö.G. (2011) "Comparison of Robust Regression Methods in Linear Regression" Int. J. Contemp. Math. Sciences, vol.6, no.9, pp.409-421.
- [6] Cantoni & E. Ronchetti (2001) "Robust inference for generalized linear models" Journal of the American Statistical Association, 96, 1022-1930.
- [7] Elsalloukh, Hassan & H. Guardiola, Jose & Young, Dean. (2005) "The epsilon-skew exponential power distribution family" Far East Journal of Theoretical Statistics, vol.17, no.1, pp.97-112.
- [8] Figueiredo, F. & Gomes, M.I. (2013) "The skew-normal distribution in SPC" REVSTAT- Statistical Journal, vol.11, no.1, pp.83–104.
- [9] Fechner, G.T., 1897. Kollectivmasslehre. Leipzig, Engleman.
- [10] Genton, M.G (2004) "Skew-Elliptical distribution and their applications: A journey Beyond normality" Boca Raton: Chapman & Hall/CRC.
- [11] Mudholkar, G.S. & Huston, A.D. (2000) "The epsilon-skew-normal distribution for analyzing near-normal data" Journal of statistical planning and Inference, vol.83, no.2, pp. 291-309.
- [12] Mashtare, T., & Hutson, A. (2011) "Utilizing the Flexibility of the Epsilon-Skew-Normal Distribution for Tobit Regression Problems" Communications in statistics-Theory and methods, vol.40, no.3, pp.408-423.
- [13] O'HAGAN, A & LEONARD, TOM (1976) "Bayes estimation subject to uncertainty about parameter constraints" Biometrika, vol.63, no.1, pp.201-203.
- [14] Reinaldo B. Arellano-Valle, Milton A. Cortes,& Hector W. Gomez (2010) "An Extension of the Epsilon-Skew-Normal Distribution" Communications in statistics-theory and methods, vol.39, no.5, pp.912-922.

## ISSN: 1813-6729 http://doi.org/10.31272/JAE.42.2019.121.22

- [15] Rousseeuw, Peter j & Leroy, Annick M. (1987) "Robust regression and outlier detection" Wiley series in probability and mathematical statistics.
- [16] Sujit , K. Sahu & High, S. Chai (2009) "A new Skew-Normal distribution and its Properties" Calcutta Statistical Association Bulletin, vol.61, no.1-4, pp.197-226.
- [17] Yalçınkaya , Abdullah. et al (2018) "Maximum likelihood estimation for the parameters of skew normal distribution using genetic algorithm" Swarm and Evolutionary Computation, vol.38, pp.127-138.

ISSN: 1813-6729 http://doi.org/10.31272/JAE.42.2019.121.22